

Markku Lehtinen

28.5.69

Tutkimus Normal Power -menetelmän soveltumisesta Compound Poisson -funktion arvojen laskemiseen

Seuraavassa tarkastellaan tapausta, jossa yhden vahingon jakaantumisfunktio $S(z)$ on Bohmanin ja Esscherin tutkimuksen (I osa: Skand. Akt. Tidskr. 1963 ss. 173-225; II osa: Skand. Akt. Tidskr. 1964 ss. 1-40) jakautuma Life insurance A sekä vahinkojen lukumäärän odotusarvon jakautuma sellainen, että odotusarvo todennäköisyydellä p on 500 ja todennäköisyydellä $1-p$ 1000, $p = 0, 0,25, 0,5, 0,75, 1$.

Vahinkojen kokonaismäärän kertymäfunktioille katsotaan saatavan tarkkoja arvoja, kun ne lasketaan kaavasta

$$\bar{F}_p(x) = p F(x; 500, S) + (1-p) F(x; 1000, S)$$

soveltamalla NP-menetelmää kumpaankin komponenttiin erikseen (NP-menetelmä antaa tunnetusti hyviä tuloksia silloin, kun vahinkojen lukumäärän odotusarvo on kiinteä).

Em. tuloksiin verrataan niitä arvoja, jotka saadaan käsittelemällä ko. yhdistelmää Compound Poisson -funktiona $G(x)$, jossa vahinkojen lukumäärän odotusarvon jakautuma on kaksiportainen ε -funktioiden kombinaatio.

Bohmanin ja Esscherin käyttämä yhden vahingon jakautuman kertymäfunktio on muotoa

$$S(z) = \sum_{\nu=1}^R A_{\nu} (1 - e^{-z/a_{\nu}}) + \sum_{\nu=1}^B B_{\nu} \varepsilon(z - b_{\nu}),$$

missä vakiot ovat tapauksessa Life A seuraavan taulukon mukaiset:

ν	A_{ν}	a_{ν}	B_{ν}	b_{ν}
1	0,43396	0,22660	0,003002	15,37
2	0,26266	0,43433	0,002063	21,92
3	0,22514	1,04232	0,001876	31,16
4	0,06942	3,72305	0,000375	41,88
5			0,000938	63,49
6			0,000188	99,52
7			0,000188	129,02
8			0,000190	139,05

The first part of the document is a letter from the author to the editor of the journal. The letter discusses the author's interest in the topic and the reasons for writing the paper.

The second part of the document is the main body of the paper. It begins with an introduction to the topic, followed by a review of the existing literature. The author then presents their own research findings and discusses their implications.

The third part of the document is the conclusion. The author summarizes the main findings of the study and discusses the limitations of the research. Finally, the author provides some suggestions for future research.

The fourth part of the document is the references. The author lists the sources used in the paper, including books, articles, and other documents.

The fifth part of the document is the appendix. The author includes some additional information that is not part of the main body of the paper, such as data tables and figures.

The sixth part of the document is the index. The author provides a list of keywords and a list of page numbers for each section of the paper.

The seventh part of the document is the bibliography. The author lists the sources used in the paper, including books, articles, and other documents.

The eighth part of the document is the list of figures. The author provides a list of the figures included in the paper, along with a brief description of each figure.

The ninth part of the document is the list of tables. The author provides a list of the tables included in the paper, along with a brief description of each table.

Käytännön sovellutuksia varten pisteissä $z = b_v$ olevat todennäköisyysmassat on "levitetty" välille $b_v - 2d$:stä $b_v + 2d$:hen tasakylkiseksi kolmioiksi, joiden kanta on $4d$ ja pinta-ala B_v . S:n karakteristinen funktio on tällöin

$$\Psi(u) = \sum_{v=1}^r \frac{A_v}{1 - a_v u i} + \left(\frac{\sin ud}{ud} \right)^2 \sum_{v=1}^s B_v e^{b_v u i}.$$

Tämän avulla on laskettu S:n momentit (liite 1) ja saatu

$$\begin{aligned} \alpha_1 = m &= 1,000000 \\ \alpha_2 &= 19,1853 \\ \alpha_3 &= 1\,480,28 \\ \alpha_4 &= 160\,723. \end{aligned}$$

Seuraavaksi on johdettu $F(x)$:n (liite 2) ja $G(x)$:n (liite 3) momentit ja saatu lopuksi lukujen γ_1 ja γ_2 lausekkeet (liite 4). Odotusarvon jakautumiskfunktion $U(q)$ momentit on laskettu liitteessä 5. Luvuille σ , γ_1 ja γ_2 on saatu seuraavat numeroarvot:

p	n	σ	γ_1	γ_2
0	1000	138,511	0,557045	0,436657
0,25	875	252,314	-0,480959	-0,578322
0,5	750	277,289	0,220795	-1,226822
0,75	625	242,623	1,074194	0,090583
1	500	97,942	0,787781	0,873314.

NP-menetelmässä funktiota $G(x)$ approksimoidaan normaalijakautumalla siten, että

$$G(x) = \Phi(y),$$

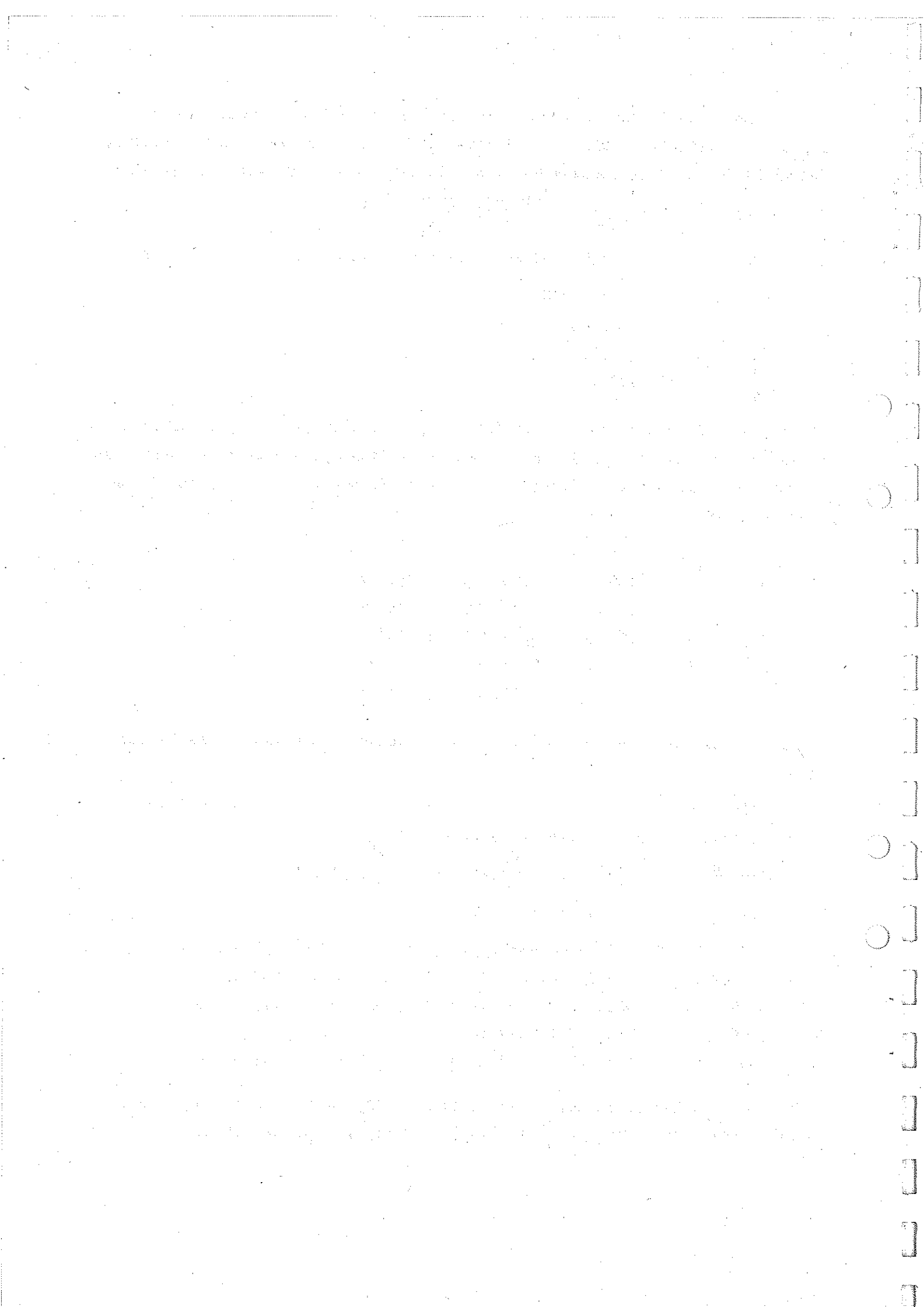
missä muuttujan vaihdon välittää yhtälö

$$\frac{x - mn}{\sigma} = y + \frac{\gamma_1}{6}(y^2 - 1) + \frac{\gamma_2}{24}(y^3 - 3y) - \frac{\gamma_1^2}{36}(2y^3 - 5y).$$

Tämä yhtälö saa eri p:n arvoilla muodon

$$\begin{aligned} 0 & \quad 0,000995y^3 + 0,092841y^2 + 0,988515y - 0,092841 - (x-1000)/138,511 = 0 \\ 0,25 & \quad 0,036948y^3 + 0,080160y^2 - 1,104418y - 0,080160 + (x-875)/252,314 = 0 \\ 0,5 & \quad 0,053826y^3 - 0,036799y^2 - 1,160124y + 0,036799 + (x-750)/277,289 = 0 \\ 0,75 & \quad 0,060092y^3 - 0,179032y^2 - 1,148343y + 0,179032 + (x-625)/242,623 = 0 \\ 1 & \quad 0,001910y^3 + 0,131297y^2 + 0,977030y - 0,131297 - (x-500)/97,942 = 0. \end{aligned}$$

Kun yo. yhtälöt on ratkaistu arvoilla $x = 750, 1000, 1200$ ja 1400 , on tuloksiksi saatu seuraavat y :n, $\Phi(y)$:n (= $G(x)$:n) ja $\bar{F}_p(x)$:n arvot:



	p	y	$\Phi(y) = G(x)$	$\bar{F}_p(x)$	$\frac{G(x) - \bar{F}_p(x)}{\min\{1 - \bar{F}_p(x), \bar{F}_p(x)\}}$
<u>$x = 750$</u>	0	-2,16069	0,01536		
	0,25	-0,50686	0,30613	0,25750	+19 %
	0,5	0,03169	0,51264	0,49924	+3 %
	0,75	0,56430	0,71372	0,74117	-11 %
	1	2,12271	0,98311		
<u>$x = 1000$</u>	0	0,09310	0,53709		
	0,25	0,38894	0,65134	0,65277	-0 %
	0,5	0,81283	0,79184	0,76846	+10 %
	0,75	1,34689	0,91099	0,88414	+23 %
	1	3,56400	0,99982		
<u>$x = 1200$</u>	0	1,37464	0,91538		
	0,25	1,28429	(ei järkevä tulos)		
	0,5	1,51679	0,93534	0,95769	-53 %
	0,75	2,01480	0,97804	0,97885	-4 %
	1	4,52147	1,00000		
<u>$x = 1400$</u>	0	2,44145	0,99269		
	0,25	iteraatio ei konvergoi järkevillä y :n arvoilla			
	0,5	- " -			
	0,75	2,90451	0,99816	0,99817	-0 %
	1	suuri	1,00000		

Niissä tapauksissa, jolloin esiintyy negatiivisia kumulanteja (γ_1 :n osoittaja = 3. kumulantti ja γ_2 :n osoittaja = 4. kumulantti), NP-menetelmä näyttää antavan erittäin epätasaisia tuloksia. Kun lisäksi "muuttujanvaihtoyhtälön" juuret muuttuvat kompleksisiksi jo sellaisilla x :n arvoilla, jotka ovat käytännön kannalta oleellisen tärkeitä, on NP-menetelmää yo. tapauksissa $p = 0,25$ ja $p = 0,5$ pidettävä käyttökeltottomana.

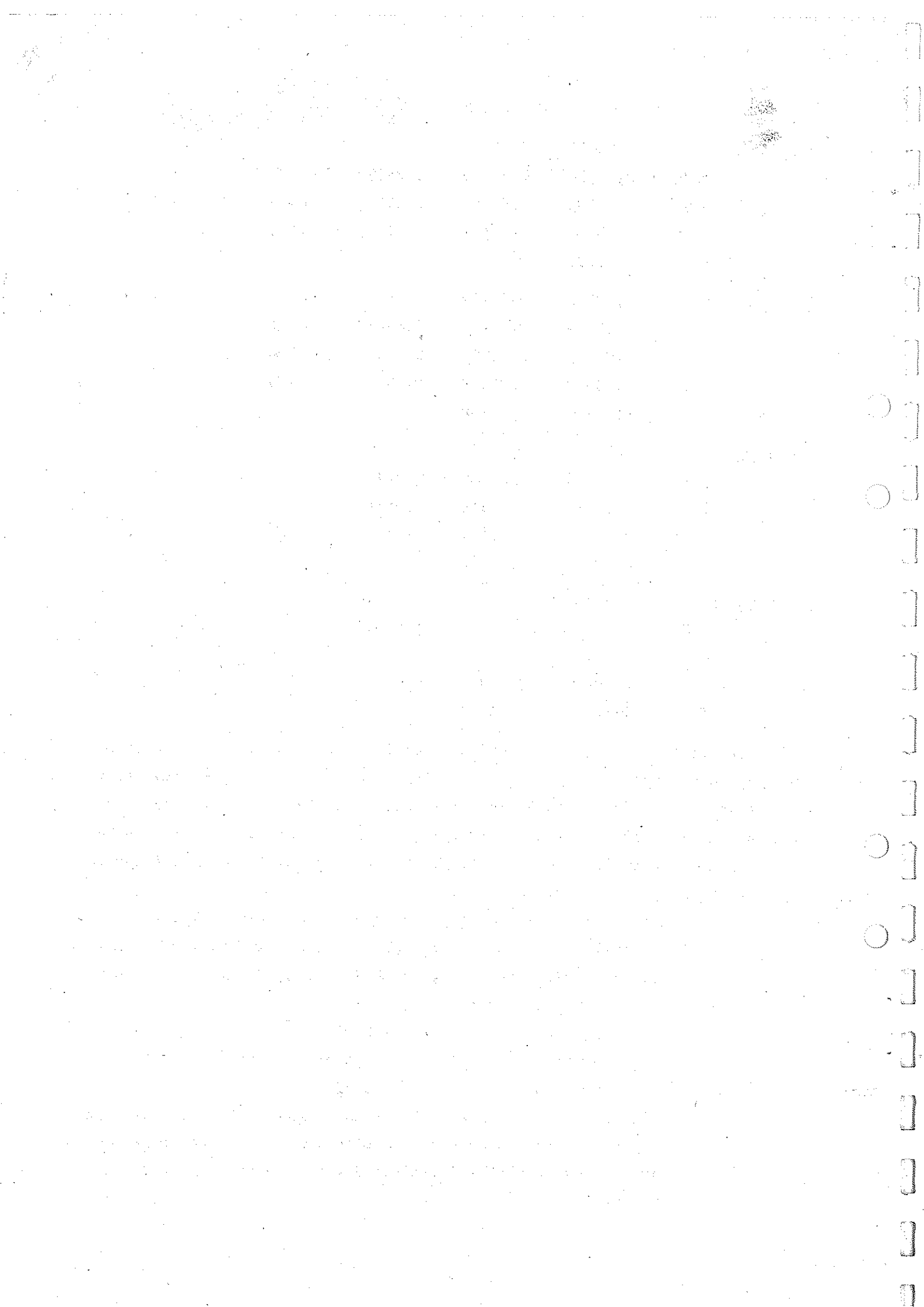
(Funktioiden $\frac{x-nm}{6} + P_3(y)$ derivaatoista voidaan päätellä, että arvoilla $p = 0,25, 0,5$ ja $0,75$ polynomi saavuttaa minimin vastaavasti y :n arvoilla 2,515, 2,918 ja 3,705. Kyseinen minimi on positiivinen, kun

$x > 1279$ tapauksessa $p = 0,25,$

$x > 1394$ " " $0,5$ ja

$x > 1469$ " " $0,75.$

Viimeisessä tapauksessa päädytään kompleksisiin y :n arvoihin vasta, kun x :n suuruus vastaa alle 1 %:n vararikkotodennäköisyyttä. Käytännön kannalta tästä ilmiöstä ei näin ollen ole haittaa.)



Tapauksessa $p = 0,75$, jolloin em. kumulantit ovat positiivisia, NP-menetelmä sovellettuna Compound Poisson -funktioon antaa tyydyttäviä tuloksia, jotka sitä paitsi näyttävät olevan tarkimmillaan jakautuman mielenkiintoisella alueella. Asian perusteellisemmaksi selvittämiseksi on edellä olevaa taulukkoa täydennetty:

x	$\bar{F}_0(x)$	$\bar{F}_1(x)$	G(x)	$\bar{F}_{0,75}(x)$	virhe (kuten ed.)
1000	0,53709	0,99982	0,91099	0,88414	+23 %
1100	0,77887	0,99998	0,95251	0,94470	+14 %
1150	0,85969	0,99999	0,96700	0,96492	+6 %
1200	0,91538	1,00000	0,97804	0,97885	-4 %
1250	0,95128	1,00000	0,98616	0,98782	-14 %
1300	0,97311	1,00000	0,99191	0,99328	-20 %
1350	0,98573	1,00000	0,99576	0,99643	-19 %
1380	0,99040	1,00000	0,99735	0,99760	-10 %
1400	0,99269	1,00000	0,99816	0,99817	-1 %
1420	0,99445	1,00000	0,99881	0,99861	+14 %

Vaikka lähempi tarkastelu tuottikin pienen pettymyksen (aikaisemmassa taulukossa sattuiivat olemaan mukana sellaiset x:n arvot, joilla approksimaatio on tarkka), ovat NP-menetelmällä G(x):lle saadut arvot silti käytännössä riittävän luotettavia. Edellisen perusteella tuntuu edellytyksenä olevan, että ainakin jakautuman 3. ja 4. kumulantti ovat positiivisia.

Yo. tuloksia on esitetty graafisesti liitteessä 6.

Koska edellä saadut tulokset ovat osittain kielteisiä, esitetään lisävalaistukseksi seuraavassa G(x) laskettuna suoraan Edgeworth-sarjasta arvoilla $x = 1000$ ja 1200 . Tällöin

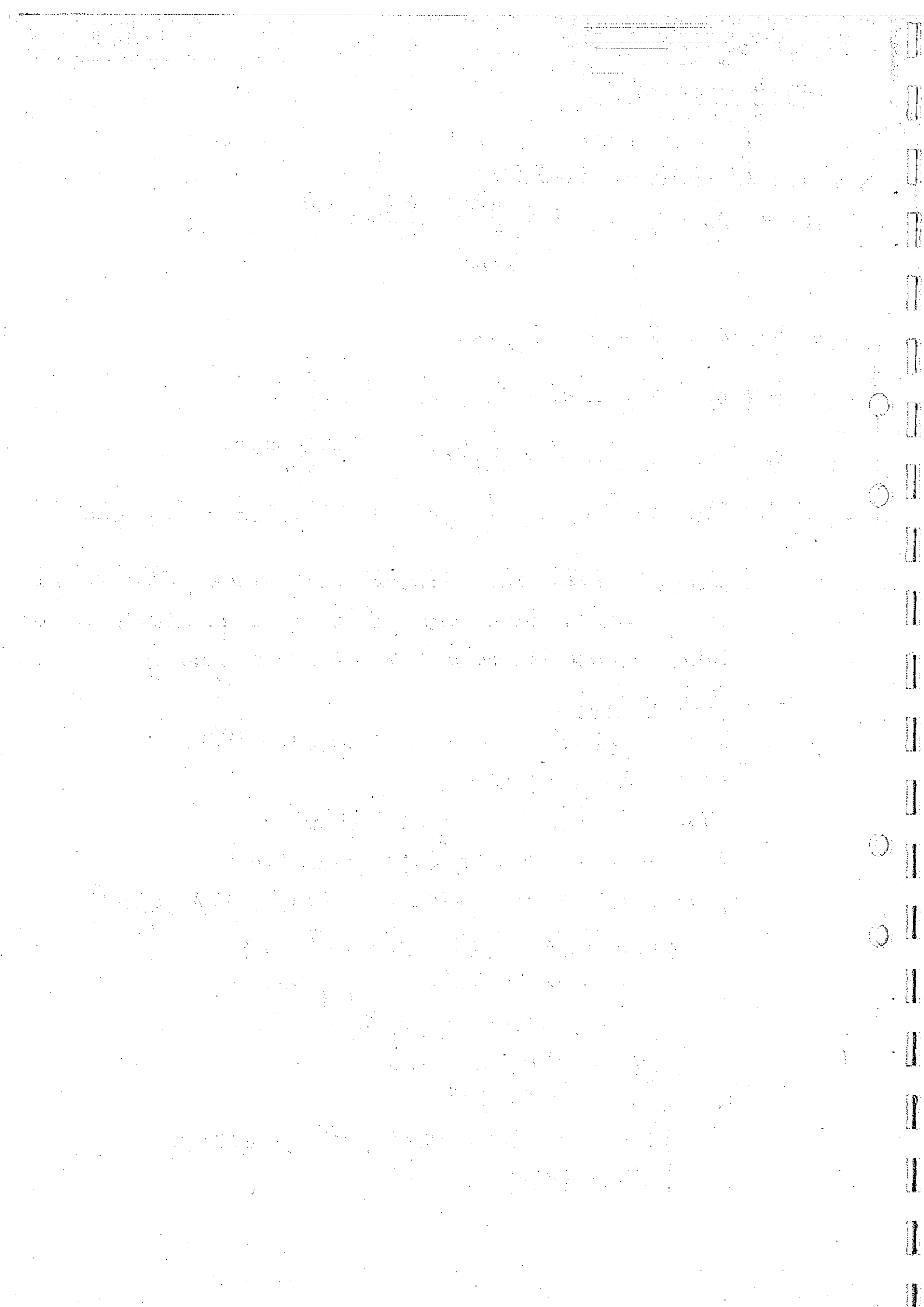
$$G(x) = \Phi(t) - \varphi(t) \left[\frac{\gamma_1}{6} H_2(t) + \frac{\gamma_2}{24} H_3(t) + \frac{\gamma_1^2}{72} H_5(t) \right] = \Phi(t) - k(t) \varphi(t),$$

missä $t = (x - mn)/\sigma$ ja $H_k(t)$ on k:n asteen Hermiten polynomi. Näistä tulevat kysymykseen

$$H_2(t) = t^2 - 1, H_3(t) = t^3 - 3t \text{ ja } H_5(t) = t^5 - 10t^3 + 15t.$$

Tulokset:

	p	t	k(t)	$\Phi(t)$	$\varphi(t)$	G(x)
<u>x = 1000</u>	0	0,00000	-0,092841	0,50000	0,39894	0,53704
	0,25	0,49541	0,113436	0,68968	0,35468	0,64945
	0,5	0,90159	0,098510	0,81616	0,26646	0,79011
	0,75	1,54561	0,166273	0,93890	0,12293	0,91846
	1	5,10495	26,655	1,00000	0,8747 · 10 ⁻⁶	0,99977



F(x): m momentit:

$$\left\{ \begin{aligned} \alpha_k &= \int_0^\infty x^k dS(x) = i^{-k} \psi^{(k)}(0) \quad (\text{tunnetaan}) \\ \beta_k &= i^{-k} \varphi^{(k)}(0), \text{ missä } \varphi(u) = e^{m\psi(u)-u} \\ & \quad [\varphi(0) = \psi(0) = 1] \end{aligned} \right.$$

$$\beta_1: \varphi'(u) = m\psi'(u)\varphi(u) \quad \underline{\beta_1 = \frac{1}{i} \varphi'(0) = \frac{1}{i} i\alpha_1 \cdot 1 = m\alpha_1 = mm}$$

$$\beta_2: \varphi''(u) = m\psi''(u)\varphi(u) + m\psi'(u)\varphi'(u) = m\psi''(u)\varphi(u) + m^2\psi'(u)^2\varphi(u)$$

$$\underline{\beta_2 = \frac{1}{i^2} [m i^2 \alpha_2 + m^2 i^2 \alpha_1^2]} = \underline{m\alpha_2 + m^2 m^2}$$

$$\beta_3: \varphi^{(3)}(u) = m\psi^{(3)}(u)\varphi(u) + m^2\psi''(u)\varphi'(u) + 2m^2\psi''(u)\varphi'(u) + m^3\psi'(u)^2\psi'(u)\varphi(u)$$

$$= m\psi^{(3)}(u)\varphi(u) + 3m^2\psi''(u)\psi'(u)\varphi(u) + m^3\psi'(u)^3\varphi(u)$$

$$\underline{\beta_3 = \frac{1}{i^3} [m i^3 \alpha_3 + 3m^2 i^2 \alpha_2 i\alpha_1 + m^3 i^3 \alpha_1^3]} = \underline{m\alpha_3 + 3m^2 m\alpha_2 + m^3 m^3}$$

$$\beta_4: \varphi^{(4)}(u) = m\psi^{(4)}(u)\varphi(u) + m^2\psi^{(3)}(u)\varphi'(u) + 3m^2\psi^{(3)}(u)\psi'(u)\varphi(u) + 3m^2\psi''(u)^2\varphi(u)$$

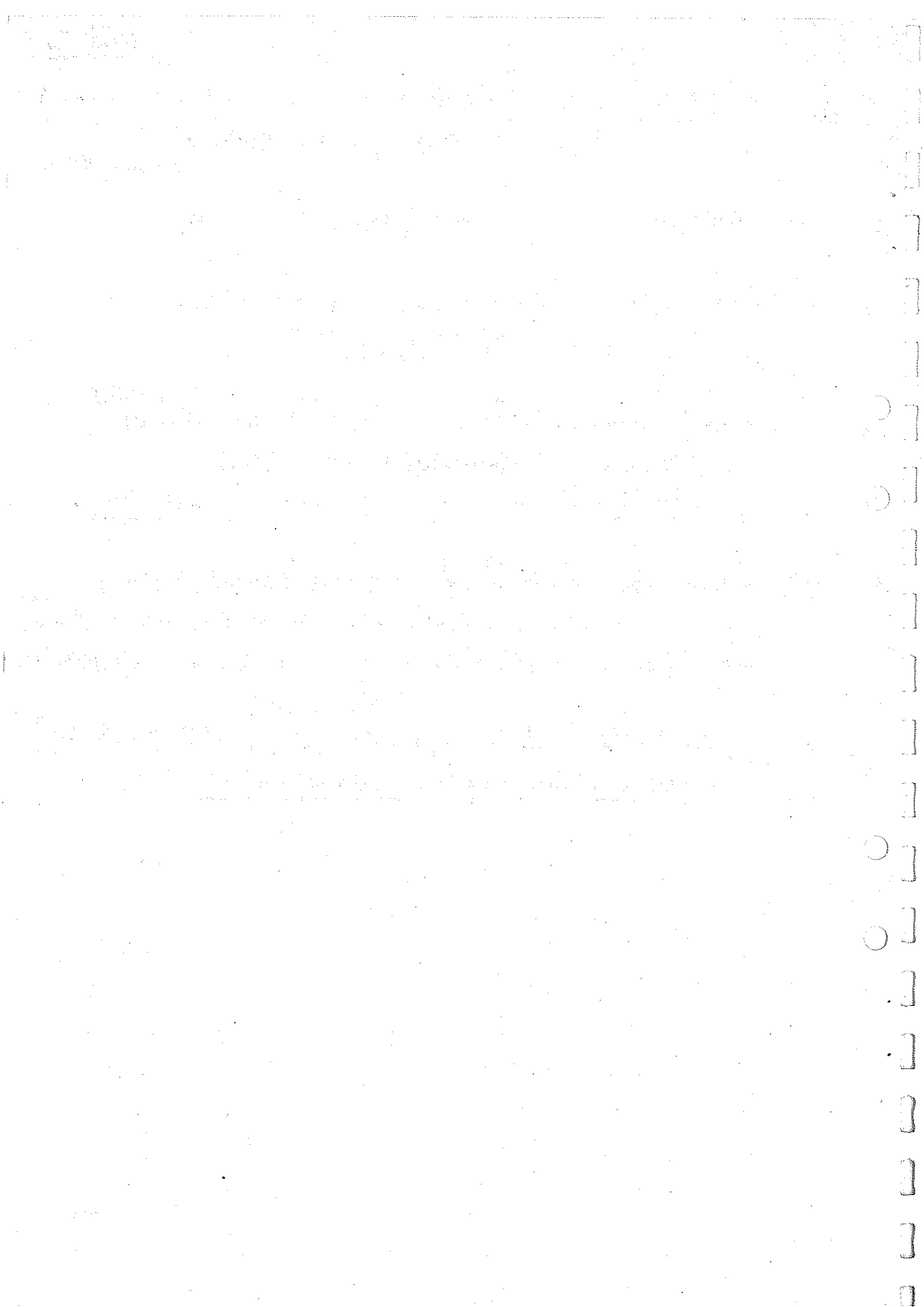
$$+ 3m^3\psi''(u)\psi'(u)^2\varphi(u) + 3m^3\psi''(u)\psi'(u)^2\varphi(u) + m^4\psi'(u)^4\varphi(u)$$

$$= m\psi^{(4)}(u)\varphi(u) + 4m^2\psi^{(3)}(u)\psi'(u)\varphi(u) + 3m^2\psi''(u)^2\varphi(u) + 6m^3\psi''(u)\psi'(u)^2\varphi(u)$$

$$+ m^4\psi'(u)^4\varphi(u)$$

$$\underline{\beta_4 = \frac{1}{i^4} [m i^4 \alpha_4 + 4m^2 i^3 \alpha_3 i\alpha_1 + 6m^3 i^2 \alpha_2 i^2 \alpha_1^2 + 3m^2 i^4 \alpha_2^2 + m^4 i^4 \alpha_1^4]}$$

$$= \underline{m\alpha_4 + 4m^2 m\alpha_3 + 6m^3 m^2 \alpha_2 + 3m^2 \alpha_2^2 + m^4 m^4}$$



G(x) in momenten

$$\bar{\beta}_k = \int_0^{\infty} \beta_k(mq) dU(q)$$

$$\bar{\beta}_1 = \int_0^{\infty} \beta_1(mq) dU(q) = \int_0^{\infty} mq \cdot m dU(q) = mm \int_0^{\infty} q dU(q) = mm$$

$$\begin{aligned} \bar{\beta}_2 &= \int_0^{\infty} \beta_2(mq) dU(q) = \int_0^{\infty} mq \cdot \alpha_2 dU(q) + \int_0^{\infty} (mq)^2 m^2 dU(q) \\ &= m\alpha_2 + m^2 m^2 \left[\int_0^{\infty} q^2 dU(q) \right] \end{aligned}$$

$$\begin{aligned} \bar{\beta}_3 &= \int_0^{\infty} \beta_3(mq) dU(q) = \int_0^{\infty} mq \alpha_3 dU(q) + \int_0^{\infty} 3(mq)^2 m \alpha_2 dU(q) + \int_0^{\infty} (mq)^3 m^3 dU(q) \\ &= m\alpha_3 + 3m^2 m \alpha_2 \int_0^{\infty} q^2 dU(q) + m^2 m^3 \int_0^{\infty} q^3 dU(q) \end{aligned}$$

$$\begin{aligned} \bar{\beta}_4 &= \int_0^{\infty} \beta_4(mq) dU(q) = \int_0^{\infty} mq \cdot \alpha_4 dU(q) + \int_0^{\infty} 4(mq)^2 m \alpha_3 dU(q) + \int_0^{\infty} 6(mq)^3 m^2 \alpha_2 dU(q) \\ &\quad + \int_0^{\infty} 3(mq)^4 m^2 dU(q) + \int_0^{\infty} (mq)^4 m^4 dU(q) \\ &= m\alpha_4 + (4m^2 m \alpha_3 + 3m^2 \alpha_2^2) \int_0^{\infty} q^2 dU(q) \\ &\quad + 6m^3 m^2 \alpha_2 \int_0^{\infty} q^3 dU(q) + m^4 m^4 \int_0^{\infty} q^4 dU(q) \end{aligned}$$

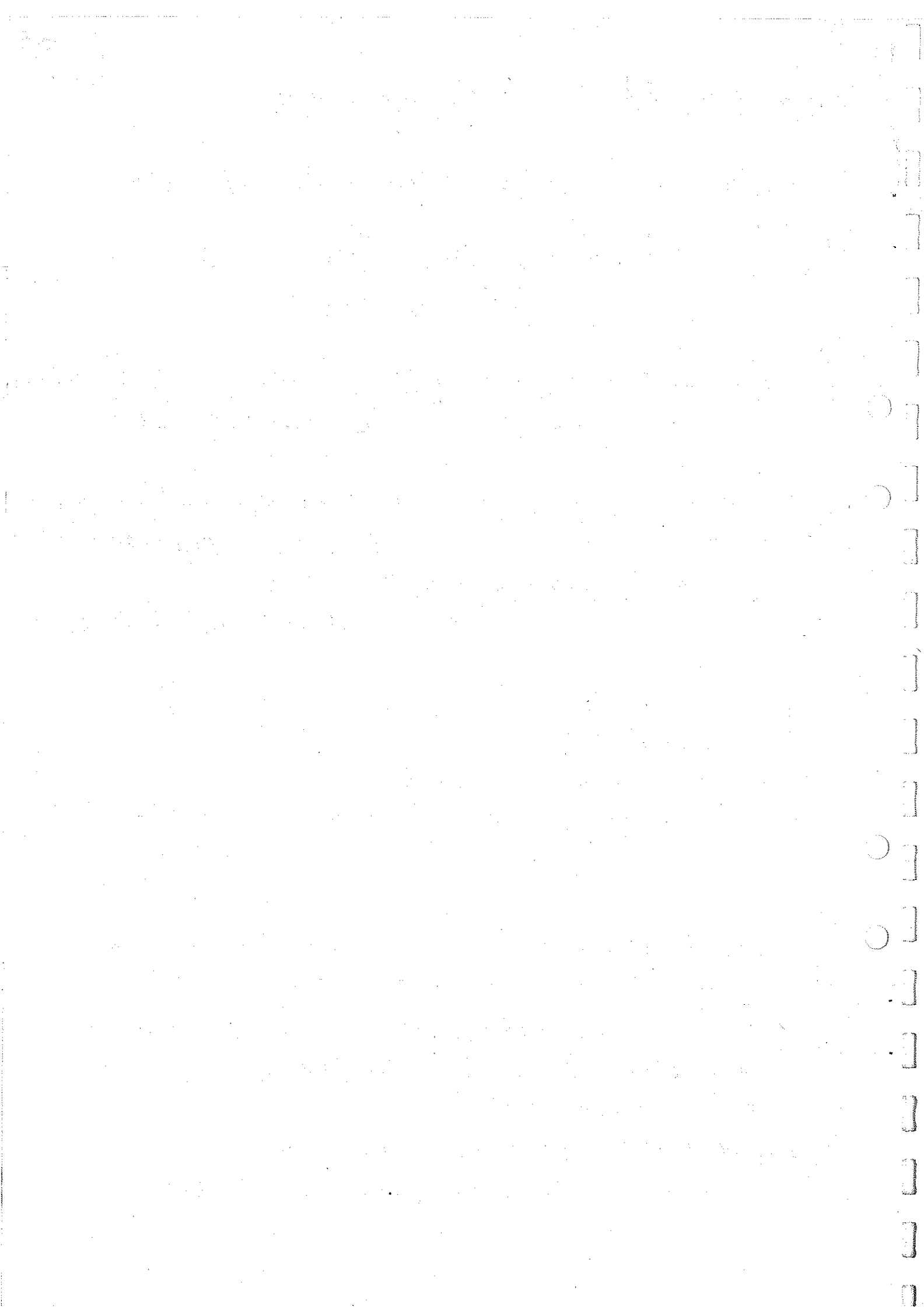
$$\left| \begin{aligned} \bar{\beta}_1 &= mm (=p) \\ \bar{\beta}_2 &= m\alpha_2 + m^2 m^2 \beta_2^q \\ \bar{\beta}_3 &= m\alpha_3 + 3m^2 m \alpha_2 \beta_2^q + m^3 m^3 \beta_3^q \\ \bar{\beta}_4 &= m\alpha_4 + (4m^2 m \alpha_3 + 3m^2 \alpha_2^2) \beta_2^q + 6m^3 m^2 \alpha_2 \beta_3^q + m^4 m^4 \beta_4^q \end{aligned} \right.$$

$$\bar{\mu}_1 = 0$$

$$\bar{\mu}_2 = \int_0^{\infty} (x-p)^2 dG(x) = \bar{\beta}_2 - p^2 = m\alpha_2 + m^2 m^2 (\beta_2^q - 1) = m\alpha_2 + m^2 m^2 \mu_2^q$$

$$\begin{aligned} \bar{\mu}_3 &= \int_0^{\infty} (x-p)^3 dG(x) = \bar{\beta}_3 - 3p\bar{\beta}_2 + 3p^2\bar{\beta}_1 - p^3 = \\ &= m\alpha_3 + 3m^2 m \alpha_2 \beta_2^q + m^3 m^3 \beta_3^q - 3m^2 m \alpha_2 - 3m^3 m^3 \beta_2^q + 3m^3 m^3 - m^3 m^3 \\ &= m\alpha_3 + 3m^2 m \alpha_2 \mu_2^q + m^3 m^3 (\beta_3^q - 3\beta_2^q + 2) \\ &= m\alpha_3 + 3m^2 m \alpha_2 \mu_2^q + m^3 m^3 \mu_3^q \end{aligned}$$

$$\begin{aligned} \bar{\mu}_4 &= \int_0^{\infty} (x-p)^4 dG(x) = \bar{\beta}_4 - 4p\bar{\beta}_3 + 6p^2\bar{\beta}_2 - 4p^3\bar{\beta}_1 + p^4 = \dots \\ &= m\alpha_4 + 3m^2 \alpha_2^2 + (4m^2 m \alpha_3 + 3m^2 \alpha_2^2 + 6m^3 m^2 \alpha_2) \mu_2^q + 6m^3 m^2 \alpha_2 \mu_3^q + m^4 m^4 \mu_4^q \end{aligned}$$



Lukujen γ_1 ja γ_2 lausekkeet

$$\gamma_1 = \frac{\bar{\mu}_3}{\bar{\mu}_2^{3/2}} = \frac{m\alpha_3 + 3m^2 m \alpha_2 \mu_2^q + m^3 m^3 \mu_3^q}{(m\alpha_2 + m^2 m^2 \mu_2^q)^{3/2}} \quad (\text{Erfving: vinous})$$

$$\left(= \frac{\alpha_3}{\alpha^3 \sqrt{m}}, \text{ kun } U(q) = \varepsilon(q-1) \right)$$

$$\gamma_2 = \frac{\bar{\mu}_4}{\bar{\mu}_2} - 3 \quad (\text{Erfving: kuipukemus})$$

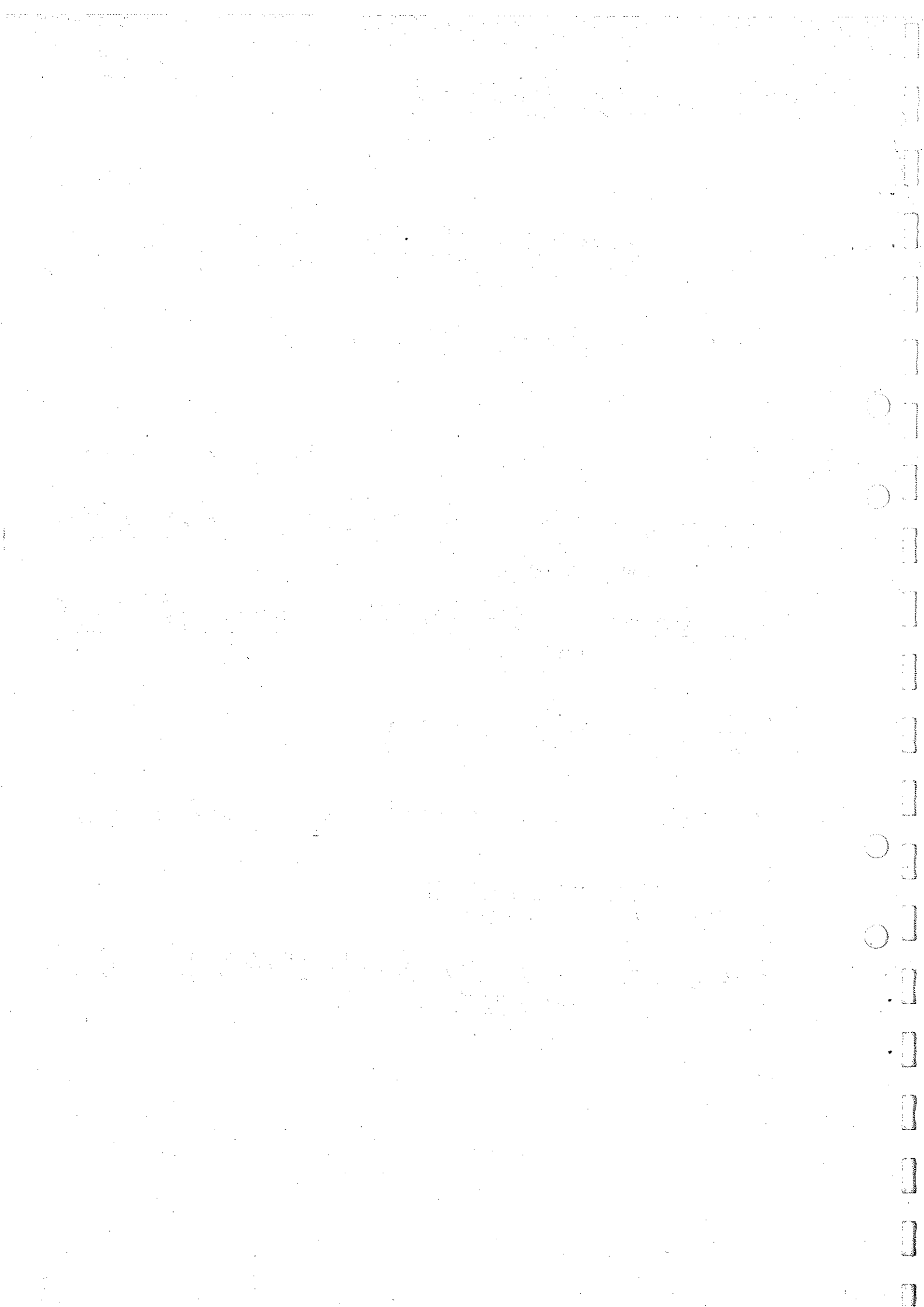
$$= \frac{m\alpha_4 + 3m^2 \alpha_2^2 + (4m^2 m \alpha_3 + 3m^2 \alpha_2^2 + 6m^3 m^2 \alpha_2) \mu_2^q + 6m^3 m^2 \alpha_2 \mu_3^q + m^4 m^4 \mu_4^q}{(m\alpha_2 + m^2 m^2 \mu_2^q)^2}$$

$$= \frac{m\alpha_4 + (4m^2 m \alpha_3 + 3m^2 \alpha_2^2) \mu_2^q - 3m^4 m^4 (\mu_2^q)^2 + 6m^3 m^2 \alpha_2 \mu_3^q + m^4 m^4 \mu_4^q}{(m\alpha_2 + m^2 m^2 \mu_2^q)^2}$$

$$\left(= \frac{\alpha_4}{m\alpha^4}, \text{ kun } U(q) = \varepsilon(q-1) \right)$$

Kun funktio S on normeerattu siten, että $m=1$, on

$$\begin{cases} \gamma_1 = \frac{m\alpha_3 + 3m^2 \alpha_2 \mu_2^q + m^3 \mu_3^q}{(m\alpha_2 + m^2 \mu_2^q)^{3/2}} \\ \gamma_2 = \frac{m\alpha_4 + (4m^2 \alpha_3 + 3m^2 \alpha_2^2) \mu_2^q - 3m^4 (\mu_2^q)^2 + 6m^3 \alpha_2 \mu_3^q + m^4 \mu_4^q}{(m\alpha_2 + m^2 \mu_2^q)^2} \end{cases}$$



$U(q)$: in momenten numerarwert

$\mu = 0,25$

$P\{v = 500\} = 0,25, P\{v = 1000\} = 0,75$

$m = 0,25 \cdot 500 + 0,75 \cdot 1000 = 875$

$U(q) : \begin{cases} P\{\frac{v}{m} = \frac{4}{7}\} = 0,25 \\ P\{\frac{v}{m} = \frac{8}{7}\} = 0,75 \end{cases}$

$\mu_2^q = \int (q-1)^2 dU(q) = 0,25 \cdot (-\frac{3}{7})^2 + 0,75 \cdot (\frac{1}{7})^2 = \frac{3}{49}$

$\mu_3^q = \frac{-6}{343}$

$\mu_4^q = \frac{21}{2401}$

$\mu = 0,5$

$P\{v = 500\} = P\{v = 1000\} = 0,5$

$m = 750$

$U(q) : \begin{cases} P\{\frac{v}{m} = \frac{2}{3}\} = 0,5 \\ P\{\frac{v}{m} = \frac{4}{3}\} = 0,5 \end{cases}$

$\mu_2^q =$

$0,5 \cdot (-\frac{1}{3})^2 + 0,5 \cdot (\frac{1}{3})^2 = \frac{1}{9}$

$\mu_3^q = 0$

$\mu_4^q = \frac{1}{81}$

$\mu = 0,75$

$P\{v = 500\} = 0,75, P\{v = 1000\} = 0,25$

$m = 625$

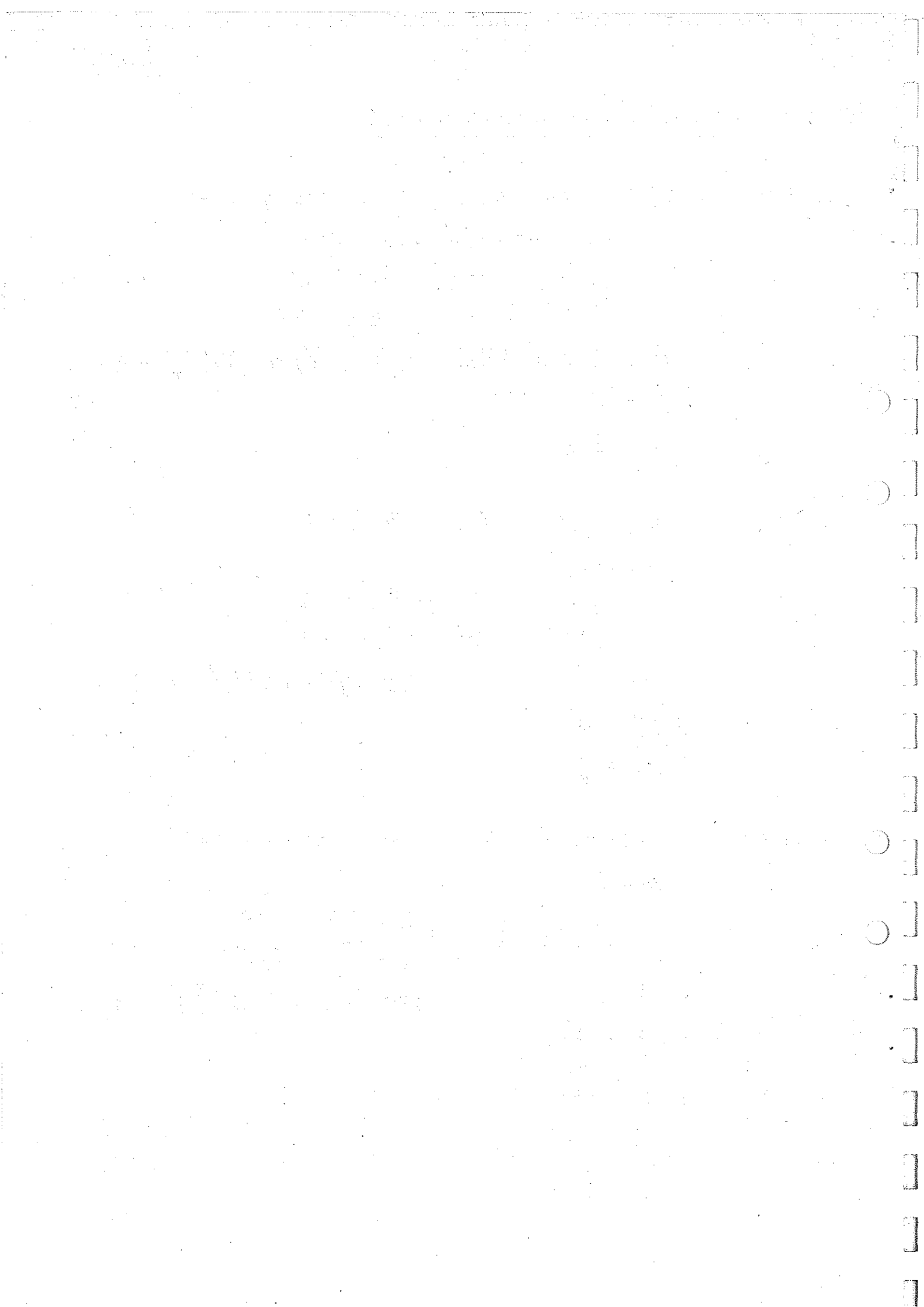
$U(q) : \begin{cases} P\{\frac{v}{m} = \frac{4}{5}\} = 0,75 \\ P\{\frac{v}{m} = \frac{8}{5}\} = 0,25 \end{cases}$

$\mu_2^q =$

$0,75 \cdot (-\frac{1}{5})^2 + 0,25 \cdot (\frac{3}{5})^2 = \frac{3}{25}$

$\mu_3^q = \frac{6}{125}$

$\mu_4^q = \frac{21}{625}$



Vararikotodennäköisyys

laskettuna NP-menetelmällä soveltaen sitä "komponenteittain" (yhtenäinen viiva)
ja suoraan yhdistettyyn funktioon (katkoviiva).

$$p = 0,75$$

